

УДК 533.6.011.72

ОПТИМАЛЬНЫЕ ДОГОНЯЮЩИЕ СКАЧКИ УПЛОТНЕНИЯ С ОГРАНИЧЕНИЯМИ НА СУММАРНЫЙ УГОЛ ПОВОРОТА ПОТОКА

А. В. Омельченко, В. Н. Усков

Балтийский государственный технический университет, 198005 Санкт-Петербург

Рассматривается задача оптимизации газодинамических переменных за системой из двух стационарных косых скачков уплотнения, на угол поворота потока в которой наложены ограничения. Определяются диапазоны входных параметров, в которых данная система оказывается эффективнее одного скачка. На основе анализа оптимальной для статического давления системы объясняется физический смысл смены типа отраженного разрыва в задаче о взаимодействии догоняющих косых скачков уплотнения.

1. Постановка задачи. Рассматривается плоский стационарный сверхзвуковой поток совершенного невязкого газа, проходящий через систему S_2 , состоящую из двух косых скачков уплотнения одного направления. Отношение статических давлений за k -м скачком p_k и до него p_{k-1} определяет интенсивность скачка $J_k = p_k/p_{k-1}$ ($k = 1, 2$). Как показано, например, в работе [1], при фиксированных значениях показателя адиабаты γ и числа Маха M_{k-1} перед k -м скачком отношение f_k/f_{k-1} любой газодинамической переменной f за скачком (f_k) и до него (f_{k-1}) однозначно выражается через его интенсивность. В частности, связь чисел Маха на скачке задается соотношением

$$\frac{\mu(M_k)}{\mu(M_{k-1})} = \frac{J_k + \varepsilon}{J_k(1 + \varepsilon J_k)}, \quad \mu(M) = (1 + \varepsilon)M^2 - \varepsilon, \quad \varepsilon = \frac{\gamma - 1}{\gamma + 1}. \quad (1.1)$$

Через интенсивность J_k k -го скачка и число Маха M_{k-1} до него однозначно выражается и угол поворота потока β_k на скачке [1]:

$$\beta_k = \arctg \left[\sqrt{\frac{(1 + \varepsilon)M_{k-1}^2}{J_k + \varepsilon} - 1} \frac{(1 - \varepsilon)(J_k - 1)}{(1 + \varepsilon)M_{k-1}^2 - (1 - \varepsilon)(J_k - 1)} \right]. \quad (1.2)$$

В работах [1–3] показано, что системы S_2 часто оказываются эффективнее одного скачка уплотнения, позволяя увеличить значения газодинамической переменной f за S_2 по сравнению с соответствующими значениями f за одиночным скачком. При этом суммарный угол поворота потока в системе может существенно превышать угол поворота на одиночном скачке. Последнее обстоятельство затрудняет использование таких систем в реальных технических устройствах [4]. Исходя из этого представляется актуальным анализ систем S_2 , на угол поворота потока в которых наложено дополнительное геометрическое ограничение

$$\beta_1 + \beta_2 = \beta_s = \text{const}. \quad (1.3)$$

Целью представленной работы является исследование на оптимальность системы S_2 при ограничении (1.3).

2. Область существования системы S_2 . Для существования двухскачковой системы S_2 необходимо, чтобы поток за первым скачком оставался сверхзвуковым. Последнее

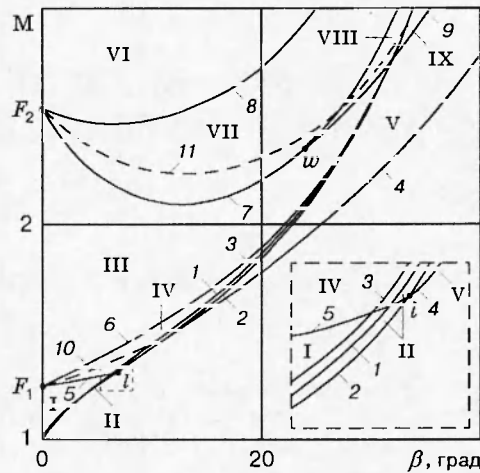


Рис. 1

выполняется, если интенсивность J_1 первого скачка находится в диапазоне $[1, J_*(M)]$. Здесь $M \equiv M_0$ — число Маха набегающего потока, а $J_*(M)$ — интенсивность, определяемая из (1.1) при условии $M_1 = 1$ и равная

$$J_* = \frac{\mu - 1}{2\varepsilon} + \sqrt{\left(\frac{\mu - 1}{2\varepsilon}\right)^2 + \mu}. \quad (2.1)$$

Угол поворота потока на таком скачке рассчитывается по формуле

$$\beta_* = \arctg \left[\sqrt{\frac{J_* - 1}{1 + \varepsilon J_*}} \frac{(1 - \varepsilon)(J_* - 1)}{(J_* + \varepsilon) + (J_* - 1)} \right]. \quad (2.2)$$

Зависимость $\beta_*(M)$, построенная с использованием формул (2.1) и (2.2), представлена на рис. 1 (кривая 1) (здесь и далее результаты расчетов приводятся для значений $\gamma = 1,4$). При $M \rightarrow \infty$ функция $\beta_*(M)$ монотонно стремится к максимально возможному углу β_a поворота потока на скачке уплотнения

$$\beta_a = \arctg \frac{1 - \varepsilon}{2\sqrt{\varepsilon}} \quad (\beta_a = 45,585^\circ). \quad (2.3)$$

Ограничение (1.3) с учетом (1.1) и (1.2) задает неявную связь между интенсивностями J_1 и J_2 входящих в систему волн. Действительно, задавая J_1 из промежутка $[1, J_*(M)]$, можно из (1.2) определить угол β_1 поворота потока на первом скачке, а затем, пользуясь соотношением (1.3), найти угол β_2 поворота потока на втором скачке.

Известно (см., например, [5]), что существует две различных интенсивности скачка ($J_2^{(\alpha)}$ и $J_2^{(\delta)}$), поворачивающих поток на один и тот же угол β_2 . Величина $J_2^{(\alpha)}$ (интенсивность слабого скачка) лежит в диапазоне $[1, J_l(M_1)]$, а $J_2^{(\delta)}$ (интенсивность сильного скачка) находится в пределах $[J_l(M_1), J_m(M_1)]$. Величина $J_m(M_1) = (1 + \varepsilon)M_1^2 - \varepsilon$ определяет интенсивность прямого скачка уплотнения в потоке с M_1 , а $J_l(M_1)$ отвечает скачку, угол $\beta_l(M_1)$ поворота на котором при заданном значении M_1 достигает максимума. Функции $J_l(M)$ и $\beta_l(M)$ имеют вид [5]

$$J_l = \frac{\mu - (1 + \varepsilon)}{2\varepsilon} + \sqrt{\left(\frac{\mu - (1 + \varepsilon)}{2\varepsilon}\right)^2 + \frac{\mu(1 + 2\varepsilon) - 1}{\varepsilon}}; \quad (2.4)$$

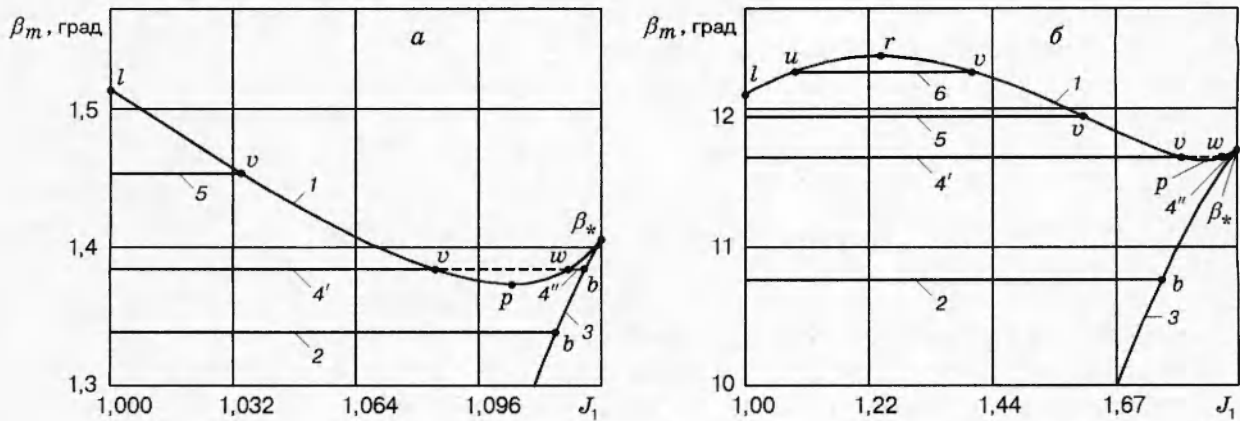


Рис. 2

$$\beta_l = \arctg \left[\sqrt{\frac{J_l - 1}{J_l + \epsilon} \frac{(1 + \epsilon) + (J_l + \epsilon)}{1 + \epsilon J_l}} \frac{(1 - \epsilon)(J_l - 1)}{2(J_l + \epsilon)} \right]. \quad (2.5)$$

График зависимости $\beta_l(M)$ представлен на рис. 1 (кривая 2). Как и $\beta_*(M)$, функция $\beta_l(M)$ стремится к β_a (2.3) при $M \rightarrow \infty$.

В общем случае второй скачок уплотнения может быть как слабым, так и сильным. В данной работе для определенности будем полагать его слабым ($J_2 = J_2^{(\alpha)}$). Тогда интенсивность J_2 второго скачка, а следовательно, и любая газодинамическая переменная за ним однозначно выражаются через интенсивность J_1 первого скачка.

Условие $J_1 \leq J_*(M)$ является необходимым, но не достаточным условием существования системы S_2 , поворачивающей поток на заданный угол $\beta_s > 0$. Действительно, максимальный угол поворота потока в S_2 при фиксированном значении J_1 рассчитывается по формуле [6]

$$\beta_m(J_1) = \beta_l(J_1) + \beta_l(M_1). \quad (2.6)$$

Функция $\beta_m(J_1)$ (кривая 1 на рис. 2) определена на интервале $[1, J_*(M)]$. На левой границе указанного интервала ($J_1 = 1$) угол $\beta_m(J_1)$ совпадает с максимальным углом $\beta_l(M)$ (2.5) поворота потока на одиночном скачке (точка l на рис. 2). В случае $J_1 \rightarrow J_*$ (2.1) число $M_1 \rightarrow 1$, предельный угол поворота на втором скачке $\beta_l(M_1) \rightarrow 0$, поэтому $\beta_m(J_1) \rightarrow \beta_*(M)$ (2.2) (точка β_* на рис. 2).

Как доказано в [6], существует два характерных диапазона чисел Маха, разделенных числом

$$M_l = \frac{(J_g^2 - 1) + 2(J_g + \epsilon)}{(J_g + \epsilon) + (1 + \epsilon)}, \quad J_g = \sqrt[3]{1 + \sqrt{1 - \frac{(1 + 2\epsilon)^3}{27}}} + \sqrt[3]{1 - \sqrt{1 - \frac{(1 + 2\epsilon)^3}{27}}} \quad (2.7)$$

($J_g = 1,606$; $M_l = 1,320$), в которых поведение функции $\beta_m(J_1)$ имеет принципиально различный характер. В диапазоне $M \in [1, M_l]$ (рис. 2, а, $M = 1,1$) функция $\beta_m(J_1) < \beta_l(M)$ для любого $J_1 \in [1, J_*]$ и имеет минимум, равный $\beta_p(M)$, при некотором $J_1 = J_p(M)$ (точка p на рис. 2). В случае $M \in [M_l, \infty)$ (рис. 2, б, $M = 1,5$) появляется область J_1 , в которой $\beta_m(J_1) > \beta_l(M)$. В этой области исследуемая функция достигает максимального значения $\beta_m = \beta_r(M)$ при $J_1 = J_r(M)$ (точка r на рис. 2, б). Как следствие, начиная с числа Маха M_l , максимальный угол поворота потока на двух скачках $\beta_r(M)$ превосходит предельный угол поворота потока на одном скачке $\beta_l(M)$.

В соответствии с описанным выше поведением функции $\beta_m(J_1)$ можно выделить четыре типа области существования системы S_2 .

1. В случае $\beta_s < \beta_p(M)$ диапазон изменения J_1 представляет собой отрезок $[1, J_b]$ (прямая 2 на рис. 2), где $J_b(\beta_s)$ — интенсивность одиночного слабого скачка уплотнения, поворачивающего поток на заданный угол β_s (кривая 3 на рис. 2). Действительно, для любого значения J_1 из этого интервала максимальный угол поворота потока на двух скачках $\beta_m(J_1)$ (2.6) превосходит заданное значение β_s и система S_2 способна развернуть поток на угол β_s . Если $J_1 > J_b$, то угол поворота потока на первом скачке уплотнения оказывается больше β_s и для поворота потока на заданный угол замыкающий скачок уплотнения должен поменять направление, что невозможно в данной постановке задачи.

2. Если $\beta_s \in [\beta_p(M), \beta_*(M)]$, то, как видно на рис. 2, прямая 4, содержащая отрезки 4' и 4'', пересекается с кривой 1 в точках v и w (соответствующие этим точкам интенсивности J_v и J_w первого скачка определяются как корни уравнения $\beta_m(J_1) = \beta_s$). В области $[J_v, J_w]$ (штриховая часть прямой 4) система S_2 развернуть поток на угол β_s не может. Следовательно, при таких β_s область существования S_2 разбивается на две подобласти: $[1, J_v]$ и $[J_w, J_b]$ (отрезки 4' и 4'' на рис. 2).

3. Для значений β_s из диапазона $[\beta_*(M), \beta_l(M)]$ подобласть $[J_w, J_v]$ исчезает и система S_2 определена в интервале $J_1 \in [1, J_v]$ (отрезок 5 на рис. 2).

4. В том случае, когда $M < M_l$, система S_2 при $\beta_s > \beta_l(M)$ существовать не может. Если же $M > M_l$, то для углов $\beta_s \in [\beta_l(M), \beta_r(M)]$ имеется диапазон $J_1 \in [J_u, J_v]$ (отрезок 6 на рис. 2, б), в котором система из двух скачков способна развернуть поток на угол β_s .

Зависимости $\beta_p(M)$ и $\beta_r(M)$, определяющие минимальные и максимальные значения функции $\beta_m(J_1)$, получены в работе [6] (кривые 3 и 4 на рис. 1). Как показано на рис. 1, кривые 1 и 3, соответствующие функциям $\beta_*(M)$ и $\beta_p(M)$, практически совпадают при всех значениях M . Кривая 4, отвечающая функции $\beta_r(M)$ и исходящая из точки l на кривой 2, напротив, довольно быстро отходит от кривой 2: уже при $M = 2$ максимальный угол поворота потока на двух скачках уплотнения превосходит предельный угол поворота потока на одном скачке на 12%.

3. Поведение статического давления в системе. В качестве примера рассмотрим поведение статического давления за S_2 . Как показано в п. 2, ограничение (1.3) позволяет по заданному значению J_1 однозначно определить интенсивность J_2 второго скачка. Следовательно, безразмерное статическое давление $J_s = p_2/p = J_1 J_2$ за S_2 (интенсивность системы) является функцией единственной переменной J_1 .

На рис. 3 приведена качественная картина поведения функции $J_s(J_1)$ в S_2 . В зависимости от значений входных параметров (числа M и угла β_s) на плоскости (β_s, M) (см. рис. 1) можно выделить девять характерных областей, в которых поведение исследуемой функции принципиально различно.

В областях I, III, IV, VI, VII (см. рис. 1), непосредственно примыкающих к оси ординат, угол $\beta_s < \beta_p(M)$, следовательно, функция $J_s(J_1)$ определена на всем промежутке $[1, J_b]$, где J_b — интенсивность одиночного скачка, поворачивающего поток на заданный угол β_s . На концах этого промежутка функция принимает одинаковые значения, равные J_b : при $J_1 = 1$ интенсивность $J_2 = J_s = J_b$; при $J_1 = J_b$ величина $J_2 = 1$, и поэтому $J_s = J_b$.

Вид функции внутри промежутка $[1, J_b]$ существенно зависит от числа Маха набегающего потока (сплошные линии на рис. 3). При малых M (область I на рис. 1, ограниченная кривыми 3 и 5) функция $J_s(J_1)$ на $(1, J_b)$ имеет единственный экстремум (максимум) при некотором $J_1 = J^{(1)}(M, \beta_s)$ (рис. 3, а). С увеличением M точка максимума смещается к правой границе интервала $(1, J_b)$. Переход в область IV, заключенную между кривыми 3, 5 и 6 (см. рис. 1), сопровождается появлением точки минимума $J_1 = J^{(2)}(M, \beta_s)$ на левом конце указанного диапазона (рис. 3, б), а переход в область III, ограниченную кривыми 6 и

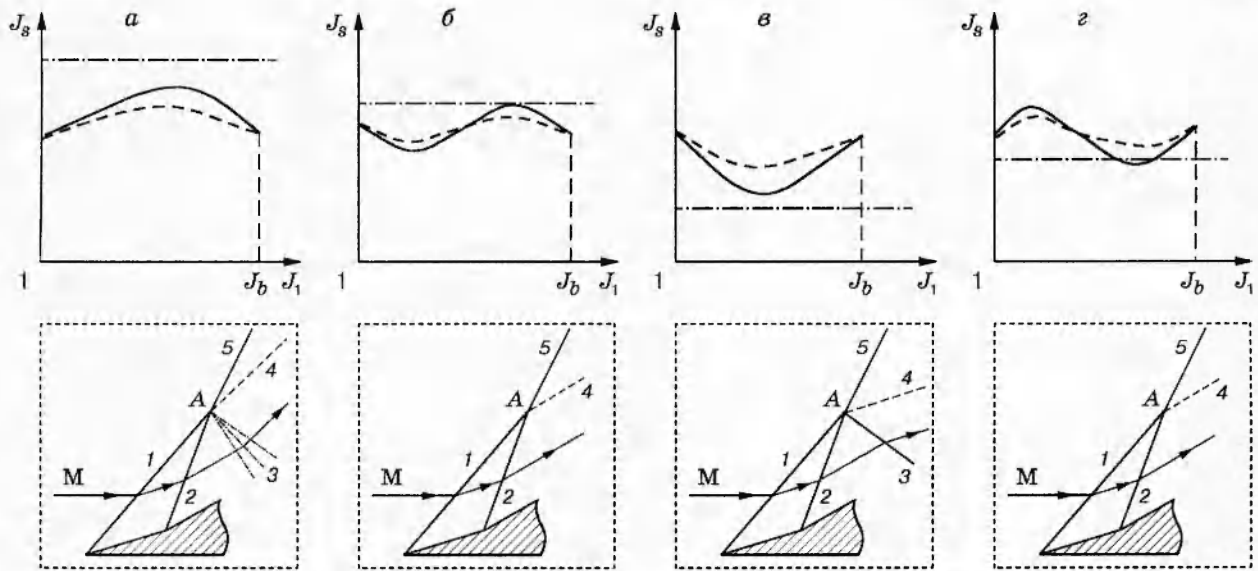


Рис. 3

7 (см. рис. 1), — исчезновением точки максимума $J^{(1)}(M, \beta_s)$ (рис. 3, в). Дальнейшее увеличение параметра M приводит к практически полному повторению характера изменения функции $J_s(J_1)$: с приближением к области VII, находящейся между кривыми 7 и 8 (см. рис. 1), минимум смещается вправо, переход в область VII приводит к появлению точки $J^{(1)}(M, \beta_s)$ максимума на левой границе диапазона $[1, J_b]$ (рис. 3, г), а переход в область VI, расположенную над кривой 8 (см. рис. 1), — к исчезновению точки $J^{(2)}(M, \beta_s)$ минимума исследуемой функции. При больших числах Маха интенсивность системы на $(1, J_b)$ вновь имеет единственный экстремум — максимум (рис. 3, а).

Как показано в п. 2, увеличение параметра β_s приводит к усложнению вида области определения функции $J_s(J_1)$. Как следствие усложняется и характер ее поведения. Так, с приближением к правой границе области I (кривая 3 на рис. 1) точка максимума $J^{(1)}(M, \beta_s)$ стремится к точке $J_p(M)$ минимума функции $\beta_m(J_1)$. При $\beta_s = \beta_p(M)$ (т. е. на кривой 3) эти интенсивности совпадают, а в случае $\beta_s > \beta_p(M)$ точка максимума попадает в область $[J_v(M), J_w(M)]$ отсутствия решений. Последнее обстоятельство приводит к тому, что в области II, границами которой служат кривые 2 и 3, интенсивность системы монотонна на каждом из поддиапазонов своего существования. Аналогичная картина наблюдается при переходе из области IV в область II.

При $M > M_l$ (2.7) появляется дополнительная область существования исследуемой функции (область V на рис. 1, ограниченная кривыми 2 и 4). Вид функции $J_s(J_1)$ в этой области качественно не отличается от ее поведения в области II между кривыми 1 и 2.

Увеличение параметра β_s при больших M приводит к появлению дополнительной области VIII (см. рис. 1) трех экстремумов функции $J_s(J_1)$, берущей начало из точки w и ограниченной кривыми 7 и 9. Для точек области III, лежащих правее w , переход в область VII двух экстремумов сопровождается появлением точки перегиба функции на нижней границе области VIII, которая с увеличением M распадается на две точки экстремума (максимум и минимум). Дальнейший рост M приводит к смещению левого минимума к нижней границе диапазона $[1, J_b]$ и его последующему исчезновению на границе с областью VII.

Как показано на рис. 1, при достаточно больших M область VIII пересекается с областями IV, II и V. Пересечение областей VIII и IV приводит к возникновению дополнительной области IX четырех экстремумов, ограниченной кривыми 3 и 6. Пересечение областей VIII и II сопровождается исчезновением правого максимума аналогично тому, как это происходило при малых M , а пересечение областей V и VIII — исчезновением правого поддиапазона существования функции $J_s(J_1)$.

Таким образом, на плоскости (β_s, M) существует несколько характерных областей, в которых поведение статического давления за системой S_2 имеет принципиально различный характер. Целью п. 4 является нахождение границ этих областей, а также интенсивностей, при которых функция J_s достигает экстремума.

4. Особые интенсивности и числа Маха. Экстремальные значения функции $J_s(J_1)$, а также границы характерных областей можно найти с помощью метода неопределенных коэффициентов Лагранжа. Функция Лагранжа

$$L = J_s + \lambda(\beta_1 + \beta_2 - \beta_s) \quad (4.1)$$

при фиксированных M и β_s зависит от трех переменных: интенсивностей волн J_1 и J_2 и множителя Лагранжа λ .

Дифференцируя (4.1) по J_1 , J_2 и λ и исключая множитель Лагранжа λ , несложно получить систему из двух уравнений, одно из которых есть уравнение связи (1.3), а второе имеет вид

$$\frac{\partial \beta_1}{\partial \Lambda_1} + \frac{\partial \beta_2}{\partial \Lambda_1} - \frac{\partial \beta_s}{\partial \Lambda_2} = 0. \quad (4.2)$$

Как следует из проведенного в п. 3 анализа, зависимости $\beta_{\varphi_1}(M)$ и $\beta_{\varphi_2}(M)$, описывающие кривые 5 и 7 на рис. 1, определяются из уравнений (1.3) и (4.2) при $J_1 \rightarrow 1$. Для случая $J_1 \rightarrow 1$ зависимость (4.2) сводится к кубическому уравнению относительно M^2

$$\sum_{n=0}^3 A_n(M^2)^n = 0, \quad A_3 = J_2^2(1 + \varepsilon)^2 - 4\varepsilon(J_2 + \varepsilon)^2, \quad (4.3)$$

$$A_2 = 4\varepsilon(1 - \varepsilon)(J_2 + \varepsilon)(J_2^2 - 1) - 2(1 - \varepsilon^2)J_2^2(J_2 - 1) - 4(1 - 2\varepsilon)(J_2 + \varepsilon)^2,$$

$$A_1 = (1 - \varepsilon)[4(1 - 2\varepsilon)(J_2^2 - 1)(J_2 + \varepsilon) + 4(J_2 + \varepsilon)^2 + (1 - \varepsilon)J_2^2(J_2 - 1)^2],$$

$$A_0 = -4(1 - \varepsilon)^2(J_2 + \varepsilon)(J_2^2 - 1).$$

Подставляя больший (J_{φ_2}) и средний (J_{φ_1}) корни (4.3) в уравнение (1.3), которое в случае $J_1 \rightarrow 1$ принимает вид $\beta_{\varphi_i} = \beta_2(M(J_{\varphi_i}), J_{\varphi_i})$ ($i = 1, 2$), можно получить искомые зависимости $\beta_{\varphi_1}(M)$ и $\beta_{\varphi_2}(M)$.

Как показано на рис. 1, кривые 5 и 7 исходят из точек F_i , расположенных на оси ординат. Подстановка в (4.3) значения $J_2 = 1$ приводит к формулам

$$M_{F_i} = \sqrt{\frac{2}{5 - 3\gamma} [(3 - \gamma) \mp \sqrt{\gamma^2 - 1}]} \quad (i = 1, 2), \quad (4.4)$$

определяющим характерные числа M_{F_i} .

С ростом M кривая 7 стремится к максимальному углу β_a поворота потока на скачке уплотнения (2.3). В отличие от кривой 7 кривая 5 оканчивается в точке l на кривой 2. Можно доказать, что соответствующее этой точке число Маха M_l рассчитывается по формуле (2.7).

Из проведенных в п. 3 рассуждений следует, что для получения зависимостей $\beta_{f_1}(M)$ и $\beta_{f_2}(M)$, описывающих кривые 6 и 8 на рис. 1, в уравнениях (1.3) и (4.2) нужно перейти

к пределу при $J_2 \rightarrow 1$. В этом случае из (4.2) следуют явные аналитические выражения, связывающие числа M_{f_i} с интенсивностью J_1 первого скачка:

$$\mu_{f_i} = 1 + \varepsilon(M_{f_i}^2 - 1) = A(B \pm C) \quad (i = 1, 2), \quad A = \frac{1 + \varepsilon J_1}{(1 + \varepsilon)(J_1(1 - 3\varepsilon) - 4\varepsilon^2)}, \quad (4.5)$$

$$B = J_1(1 - 2\varepsilon - \varepsilon^2) - 2\varepsilon^2, \quad C = 2\varepsilon\sqrt{\varepsilon(1 + \varepsilon J_1)(J_1 + \varepsilon)}.$$

Подставляя полученные значения M_{f_i} в соотношение (1.3), сводящееся в случае $J_2 \rightarrow 1$ к виду $\beta_{f_i} = \beta_1(M_{f_i}(J_1), J_1)$ ($i = 1, 2$), можно получить аналитические описания кривых 6 и 8.

Кривые 6 и 8, так же как кривые 5 и 7, исходят из точек с координатами $(0, M_{F_i})$ (4.4). Зависимость $\beta_{f_1}(M)$ при $M \rightarrow \infty$ стремится к величине β_a (2.3), а функция $\beta_{f_2}(M)$ с ростом M асимптотически приближается к значению

$$\beta_c = \arctg \frac{\sqrt{(1 + \varepsilon)(1 - 3\varepsilon)}}{2\sqrt{\varepsilon}} \quad (\beta_c = 43,100^\circ).$$

Для описания кривой 9 на рис. 1 необходимо исследовать на экстремум неявную функцию $M(J_1)$, задаваемую уравнениями (1.3) и (4.2). Как показывают расчеты, минимум данной функции соответствует появлению двух дополнительных экстремумов функции $J_s(J_1)$.

Записывая для $M(J_1)$ функцию Лагранжа

$$\Phi = M + \lambda_1(\beta_1 + \beta_2 - \beta_s) + \lambda_2 \left(\frac{\partial \beta_1}{\partial \Lambda_1} + \frac{\partial \beta_2}{\partial \Lambda_1} - \frac{\partial \beta_2}{\partial \Lambda_2} \right),$$

дифференцируя ее по переменным J_1, J_2, λ_1 и λ_2 и исключая множители Лагранжа λ_i ($i = 1, 2$), несложно получить систему из трех уравнений

$$\Psi = \frac{\partial \beta_1}{\partial \Lambda_1} + \frac{\partial \beta_2}{\partial \Lambda_1} - \frac{\partial \beta_2}{\partial \Lambda_2} = 0, \quad \frac{\partial \Psi}{\partial \Lambda_1} - \frac{\partial \Psi}{\partial \Lambda_2} = 0, \quad \beta_w = \beta_1 + \beta_2,$$

первые два из которых позволяют по заданному значению параметра J_1 найти значения M и J_2 . Третье уравнение служит для определения угла β_w поворота потока в системе из двух скачков уплотнения с интенсивностями J_1 и $J_2(J_1)$. Меняя значение интенсивности J_1 от единицы до бесконечности, можно построить зависимость $\beta_w(M)$ (кривая 9 на рис. 1). Точка w начала кривой 9 находится из системы при $J_1 \rightarrow 1$ ($M_w = 2,282, \beta_w = 22,563^\circ$).

5. Связь двухскачковой системы с волной сжатия. Для объяснения немонотонного поведения статического давления в системе S_2 сопоставим характер поведения функции $J_s(J_1)$ со значениями интенсивностей J_b и J_c скачка уплотнения и простой волны сжатия Прандтля — Майера соответственно, поворачивающих невозмущенный поток на заданный угол β_s .

На рис. 3 для различных значений M построены штрихпунктирные прямые, соответствующие интенсивностям J_c волны сжатия, поворачивающей поток на угол β_s . На рис. 1 пунктирными линиями отмечены полученные в [7] значения параметров β_s и M , для которых $J_c = J_b$ (кривые 10 и 11). Как доказано в [7], эти кривые исходят из точек F_i (4.4) и располагаются внутри областей IV и VII. В точках, принадлежащих этим областям и не лежащих на кривых 10 и 11, интенсивности $J_c \neq J_b$ (см. рис. 3, б, г), однако близки по величине. По мере удаления от кривых 10 и 11 разность между ними увеличивается. В области III интенсивность J_c много меньше (рис. 3, в), а в областях I и VI много больше (рис. 3, а) величины J_b .

Как сказано выше, в случае $\beta_s \leq \beta_p(M)$ (т. е. в точках, принадлежащих областям I, III, IV, VI и VII) функция $J_s(J_1)$ на концах диапазона $[1, J_b]$ совпадает с величиной J_b . В

области III интенсивность системы превосходит значение J_b при всех $J_1 \in (1, J_b)$ (рис. 3, в) и имеет максимум, величина которого стремится к интенсивности J_c волны сжатия. В областях I и VI функция $J_s(J_1)$ также имеет единственный экстремум (минимум) на $(1, J_b)$, величина которого по-прежнему стремится к J_c (рис. 3, а). Наконец, в областях IV и VII, где значения J_c и J_b отличаются мало, интенсивность $J_s(J_1)$ системы колеблется около своего «положения равновесия» — интенсивности J_b .

Проведенные рассуждения показывают, что рассматриваемая в работе система из двух скачков уплотнения является своеобразной моделью волны сжатия. Статическое давление за S_2 , совпадающее на концах диапазона $[1, J_b]$ со статическим давлением за одиночным скачком, внутри этого диапазона стремится к величине давления за простой волной, поворачивающей поток на такой же угол β_s . При этом количество экстремумов функции $J_s(J_1)$, а также их тип определяются знаком и величиной разности между J_c и J_b .

6. Физический смысл отраженного разрыва в задаче о взаимодействии догоняющих скачков уплотнения. При регулярном взаимодействии догоняющих скачков уплотнения 1 и 2 (рис. 3) возникают исходящие результирующий скачок 5 и отраженный разрыв 3, а также расположенный между ними тангенциальный разрыв 4 [8]. Отраженный разрыв может быть как волной разрежения (рис. 3, а), так и скачком уплотнения (рис. 3, в). В частном случае он является слабым разрывом (рис. 3, б, г), а возникающая при этом структура называется тройной конфигурацией ударных волн. Интенсивности исходящего 5 и отраженного 3 разрывов находятся из условий равенства статических давлений и углов поворота потока по обе стороны тангенциального разрыва 4, т. е. из решения системы

$$J_1 J_2 J_3 = J_5, \quad \beta_1 + \beta_2 \pm \beta_3 = \beta_5.$$

Здесь J_i ($i = 1, 2, 3, 5$) — интенсивности соответствующих разрывов, а β_i — углы поворота потока на них. Знак «плюс» перед β_3 отвечает отраженной волне разрежения, а «минус» — скачку уплотнения.

Сравнение статического давления за скачком уплотнения, волной сжатия и системой S_2 с ограничением (1.3), проведенное в п. 5, позволяет дать простое объяснение возникновению отраженного разрыва в точке взаимодействия догоняющих скачков уплотнения.

Вначале рассмотрим случай, когда интенсивность волны сжатия много больше интенсивности скачка уплотнения, поворачивающего поток на тот же угол (области I и VI на рис. 1). Как показано в п. 5, статическое давление за системой из двух догоняющих скачков в этом случае превосходит статическое давление на одном скачке. При взаимодействии таких скачков должна возникнуть центрированная волна разрежения (рис. 3, а), выравнивающая статическое давление на тангенциальном разрыве 4. Такая волна, во-первых, понижает статическое давление за S_2 , а во-вторых, доворачивает поток на угол, больший, чем $\beta_s = \beta_1 + \beta_2$, увеличивая тем самым угол β_5 поворота потока на исходящем из точки взаимодействия А скачке 5 и повышая статическое давление за ним.

Обратная картина наблюдается при $J_b \gg J_c$ (область III на рис. 1). В этом случае при одинаковом угле поворота статическое давление за одним скачком превышает давление за системой S_2 из двух скачков. Возникающий при взаимодействии входящих в S_2 скачков отраженный разрыв 3 должен быть скачком уплотнения (рис. 3, в). С одной стороны, он повышает статическое давление за S_2 , а с другой — снижает статическое давление за скачком 5 за счет уменьшения угла β_5 поворота потока на нем по сравнению с углом β_s поворота потока в системе S_2 .

Наконец, в ситуации, когда $J_b \approx J_c$ (области IV и VII на рис. 1), функция $J_s(J_1)$ может быть как больше, так и меньше J_b (рис. 3, б, г). В первом случае отраженный разрыв является волной разрежения, во втором — скачком уплотнения. В обоих случаях его интенсивность близка к единице. Точное равенство $J_3 = 1$ достигается при некотором J_1 из интервала $(1, J_b)$ и соответствует тройной конфигурации ударных волн (рис. 3, б).

Границы $\beta_{\varphi_i}(M)$ и $\beta_{f_i}(M)$ областей IV и VII (формулы (4.3) и (4.5)) являются границами областей существования тройных конфигураций [9, 10].

Таким образом, переход из области I, где $J_c > J_b$, в область III, где выполняется обратное неравенство, приводит к смене типа не только экстремума функции $J_s(J_1)$ в системе S_2 , но и отраженного разрыва при взаимодействии догоняющих скачков уплотнения, а также к появлению области IV существования тройных конфигураций. Аналогично изменение знака разности $J_c - J_b$ на противоположный при переходе из области III в область VI сопровождается как появлением второй области существования тройных конфигураций (области VII), так и переходом от взаимодействия с отраженным скачком уплотнения к взаимодействию с отраженной центрированной волной разрежения.

7. Дополнительные замечания. 1. В п. 6 связь задачи о взаимодействии догоняющих скачков уплотнения с задачей расчета системы S_2 при наличии ограничения (1.3) продемонстрирована для случая, когда точка с координатами (β_s, M) принадлежит областям, непосредственно примыкающим к оси ординат. Как отмечалось ранее, увеличение параметра β_s приводит к усложнению как области определения функции $J_s(J_1)$, так и характера ее поведения. Увеличение β_s в задаче о догоняющих скачках сопровождается переходом от регулярного взаимодействия к нерегулярному, а также появлением областей отсутствия решения рассматриваемой задачи [5]. При этом границы нерегулярного взаимодействия скачков, а также областей отсутствия решения совпадают с границами характерных областей, построенных на рис. 1 при анализе оптимальной для статического давления системы. Следовательно, связь рассматриваемых задач имеет место при любых значениях параметров M и β_s .

2. Учет взаимодействия входящих в S_2 скачков в областях I, III, IV, VI и VII не приводит к качественному изменению поведения статического давления за системой. Это следует из рис. 3, а-г, на которых пунктирными линиями нанесены значения функции $J'_s = J_1 J_2 J_3$, представляющей безразмерное статическое давление за отраженным разрывом 3. Как показано на рис. 3, отраженный разрыв снижает амплитуду колебаний функции $J_s(J_1)$ около своего «положения равновесия» — интенсивности J_b , т. е. играет в системе S_2 демпфирующую роль. Однако он не меняет фазы этих колебаний, а следовательно, оставляет неизменными как границы немонотонного поведения функции $J'_s(J_1)$, так и количество ее экстремумов.

3. В работах [11, 12] найдены границы немонотонного поведения функции $J_s(J_1)$ в системах S_2 , состоящих из последовательно расположенных скачка уплотнения и волны разрежения [11], а также волны разрежения и скачка уплотнения [12]. Основным их отличием от системы, рассматриваемой в данной работе, является то, что параметр β_s в них может быть как положительным, так и отрицательным. В случае, когда $\beta_s > 0$, границы немонотонного поведения $J_s(J_1)$ в системах с волной разрежения совпадают с границами немонотонного поведения статического давления в двухскачковой системе, т. е. описываются функциями $\beta_{\varphi_i}(M)$ (4.3) и $\beta_{f_i}(M)$ (4.5). В п. 6 установлено, что эти функции одновременно служат границами областей смены типа отраженного разрыва в задаче о взаимодействии догоняющих скачков уплотнения. Можно предположить, что и в задачах о взаимодействии скачка уплотнения с волной разрежения границы немонотонного поведения функции $J_s(J_1)$ играют ту же роль, т. е. являются границами областей смены типа отраженного разрыва.

ЛИТЕРАТУРА

1. Омельченко А. В., Усков В. Н. Оптимальные ударно-волновые системы // Изв. РАН. Механика жидкости и газа. 1995. № 6. С. 118–126.

2. **Петров Г. И.** Аэромеханика больших скоростей и космические исследования. М.: Наука, 1992.
3. **Герман Р.** Сверхзвуковые входные диффузоры. М.: Физматгиз, 1960.
4. **Абрамович Г. Н.** Прикладная газовая динамика: В 2 ч. М.: Наука, 1991. Ч. 1.
5. **Адрианов А. Л., Старых А. Л., Усков В. Н.** Интерференция стационарных газодинамических разрывов. Новосибирск: Наука, 1995.
6. **Омельченко А. В., Усков В. Н.** Максимальные углы поворота сверхзвукового потока в ударно-волновых системах // Изв. РАН. Механика жидкости и газа. 1998. № 3. С. 148–156.
7. **Омельченко А. В., Усков В. Н.** Распад центрированной волны сжатия Прандтля — Майера в стационарном потоке газа // ПМТФ. 1998. Т. 39, № 3. С. 59–68.
8. **Росляков Г. С.** Взаимодействие плоских скачков одного направления // Численные методы в газовой динамике. М.: Изд-во Моск. ун-та, 1965. С. 28–51.
9. **Вюст В.** К теории разветвленных скачков уплотнения // Газовая динамика. М.: Изд-во иностр. лит., 1950. С. 131–143.
10. **Веккен Ф.** Предельные положения вилкообразных скачков уплотнения // Механика. 1950. № 4. С. 24–34.
11. **Омельченко А. В., Усков В. Н.** Оптимальные ударно-волновые системы при ограничениях на суммарный угол поворота потока // Изв. РАН. Механика жидкости и газа. 1996. № 4. С. 142–150.
12. **Омельченко А. В., Усков В. Н.** Экстремальная система волна разрежения — скачок уплотнения в стационарном потоке газа // ПМТФ. 1997. Т. 38, № 2. С. 40–47.

Поступила в редакцию 3/VI 1997 г.
